コラプサーからの超相対論的 ガンマ線バーストジェット

水 田 晃 千葉大学

M.A. & Aloy astro-ph/0812.4813 M.A., Aloy, & Nagataki in prep 第9回高エネルギー宇宙物理連絡会 @愛媛大学 090316-18

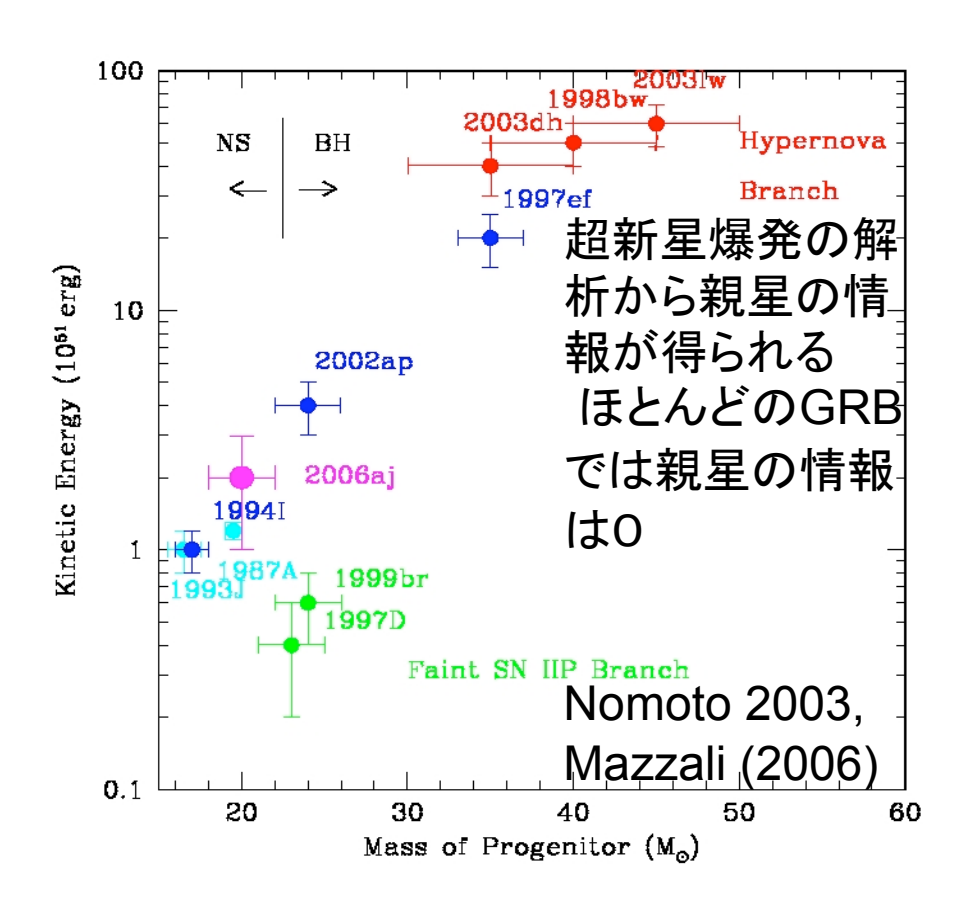
目次

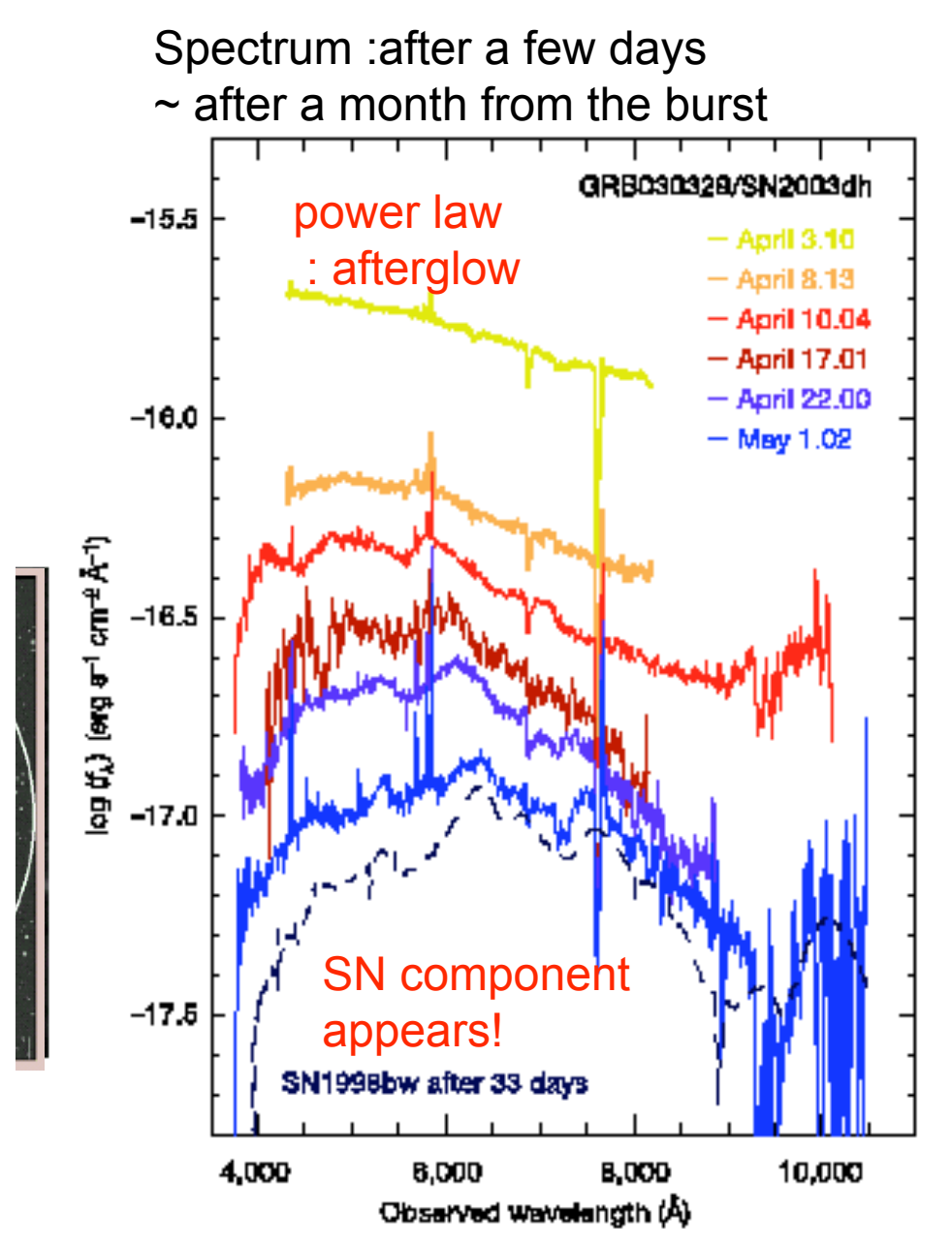
- 1. GRBとコラプサー
- 2. Light Jet の特徴 (コクーン、内部衝撃波 backflow etc.)
- 3. コラプサーからのGRBジェット
- 4. まとめ

重力崩壊型超新星爆発に付随したロングガンマ線バースト(td>~2s)

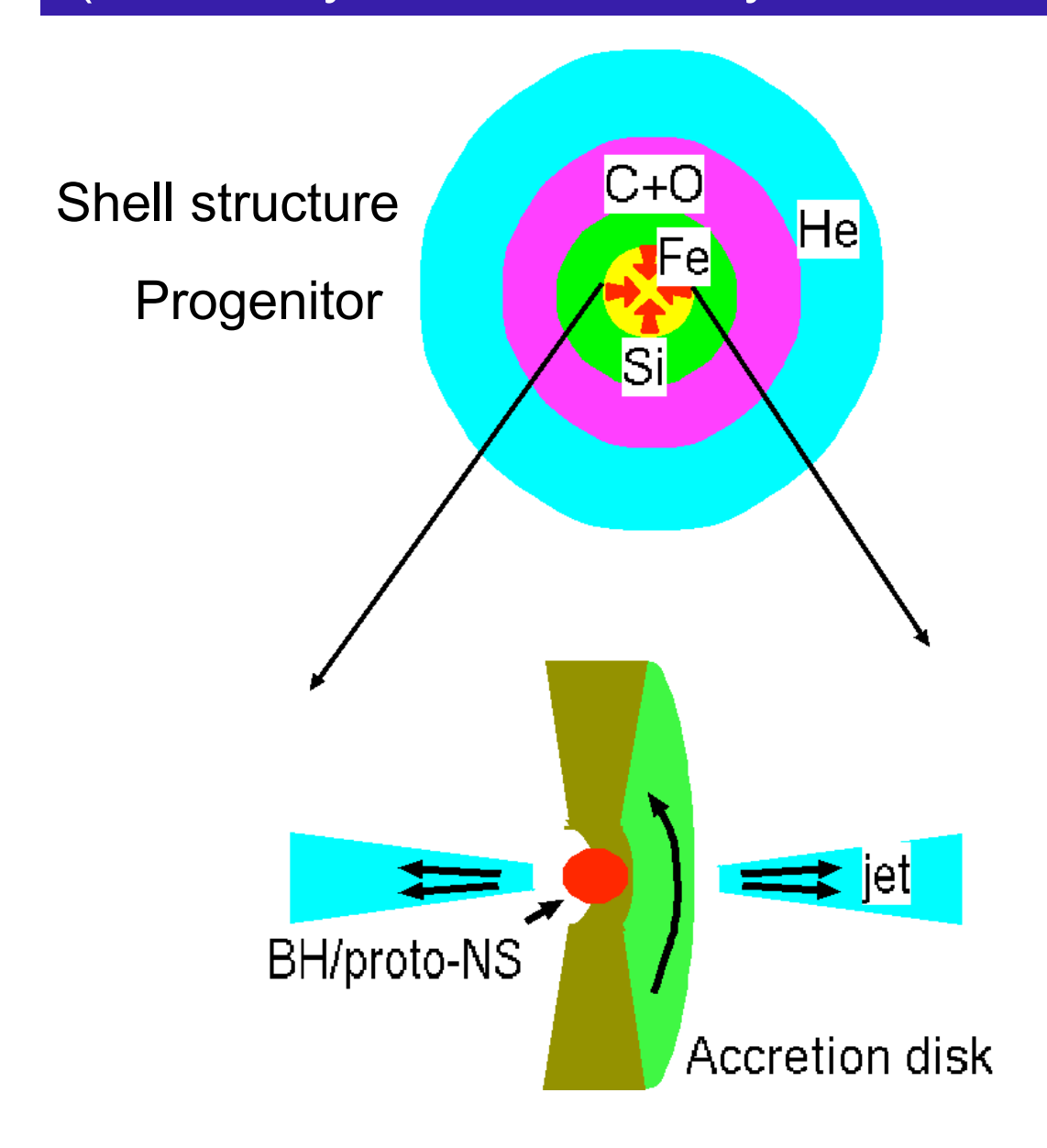
Association long duration GRB-SN is observed.

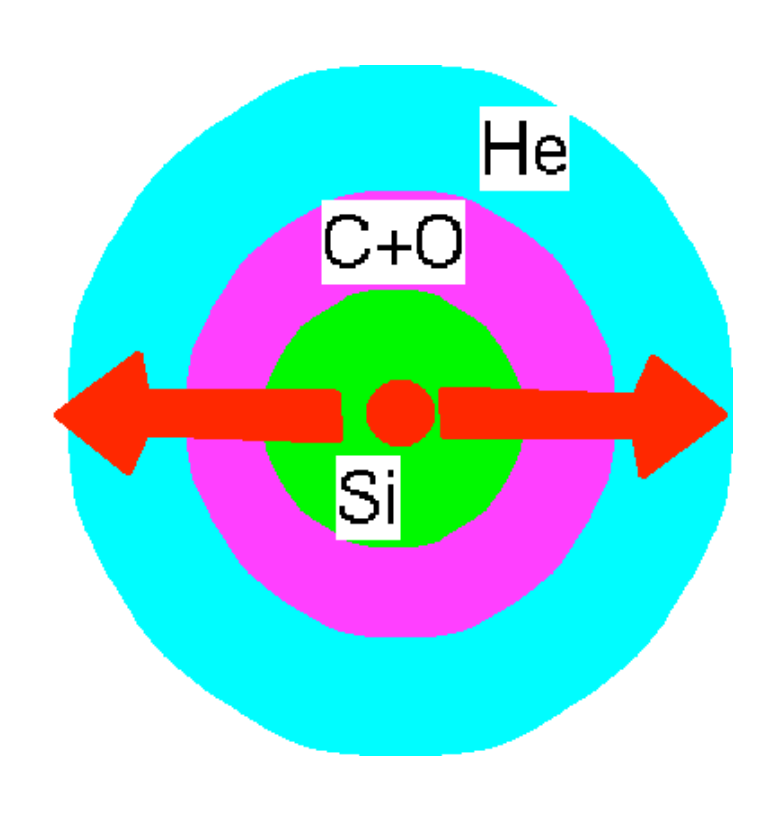
ex. GRB980425/SN1998bw, GRB030329/SN2003dh GRB060218/SN2006ai.





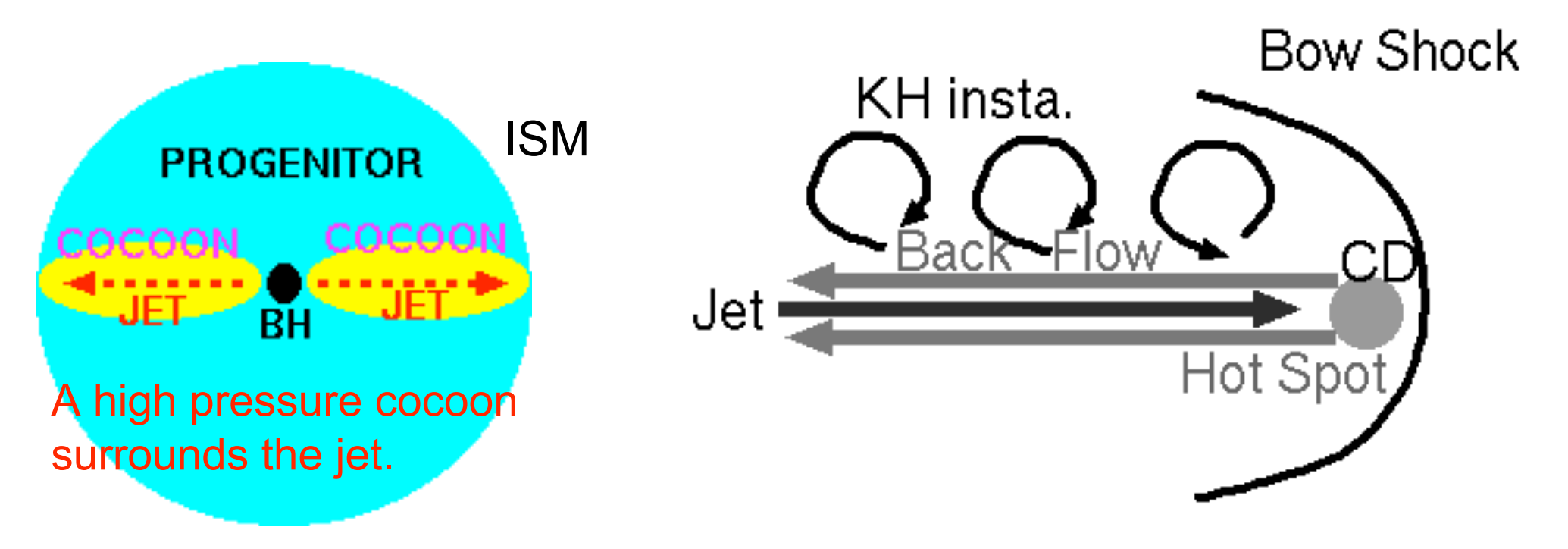
重力崩壊型超新星爆発を伴う非球対称性の強い爆発: Collapsar model (Wooseley 1993, MacFadyen et al. 1999)





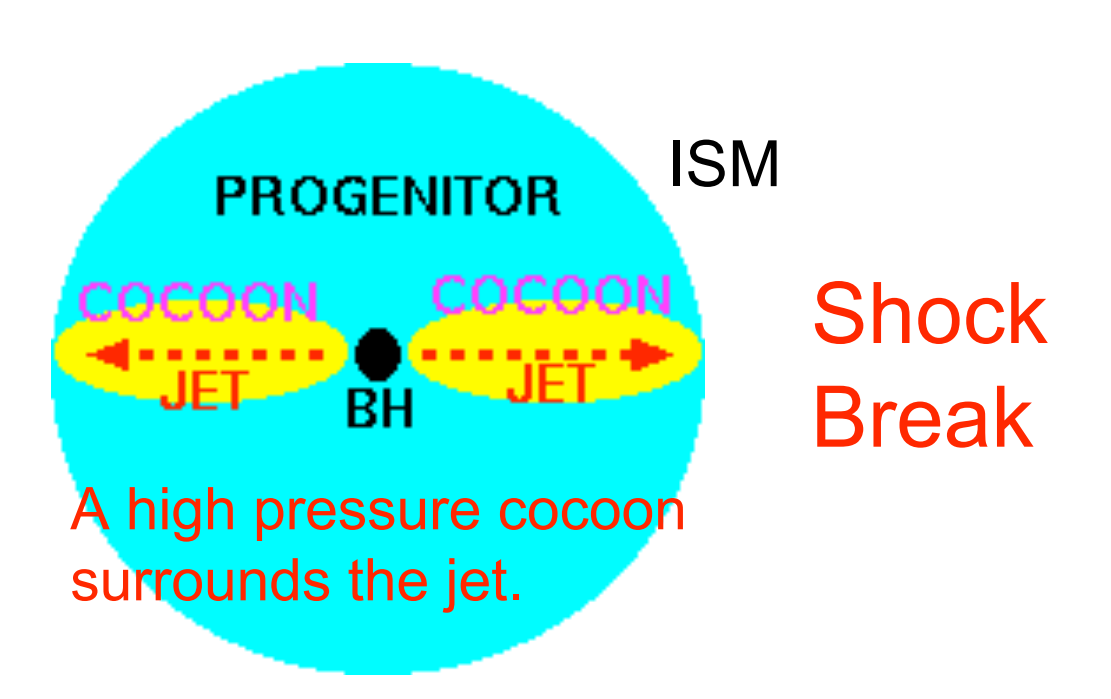
Bipolar jet passes through the envelopes

Phase 1

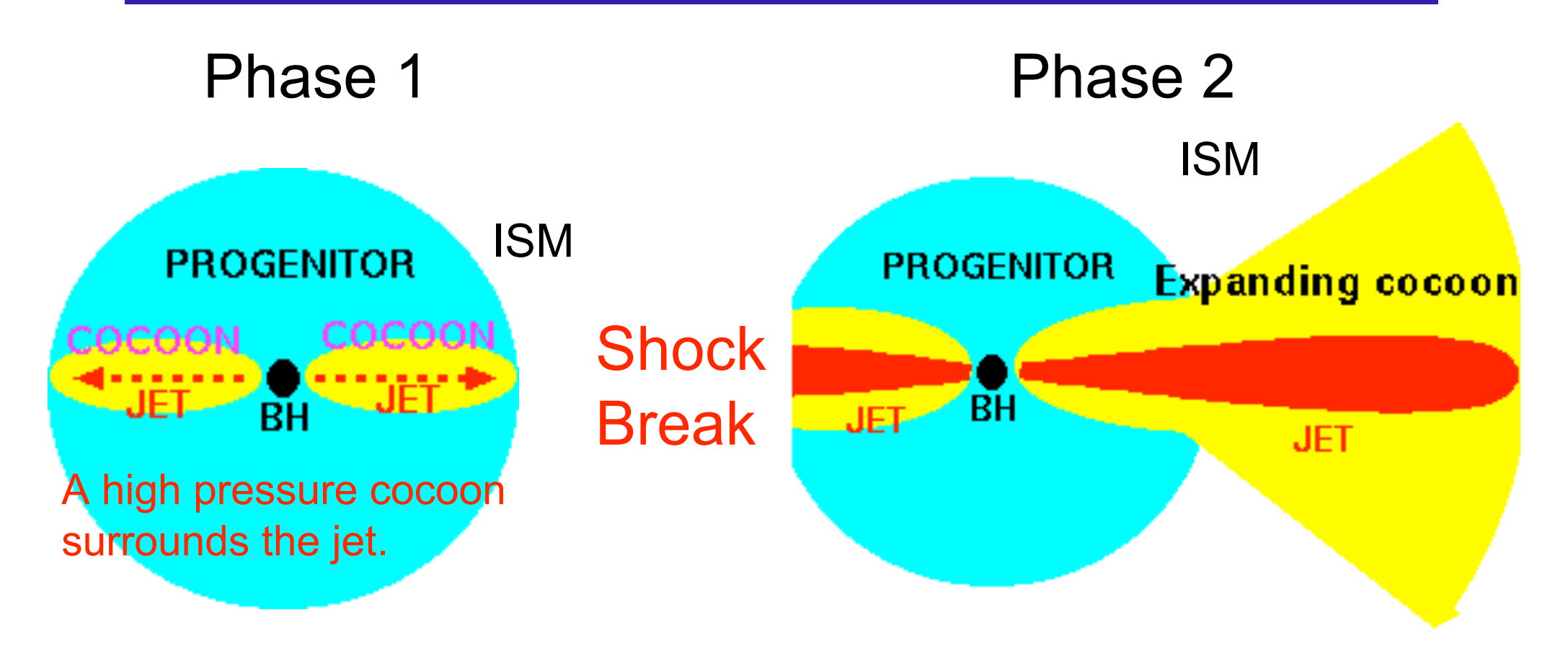


Jet's energy is confined in the cocoon during the propagation in the progenitor

Phase 1

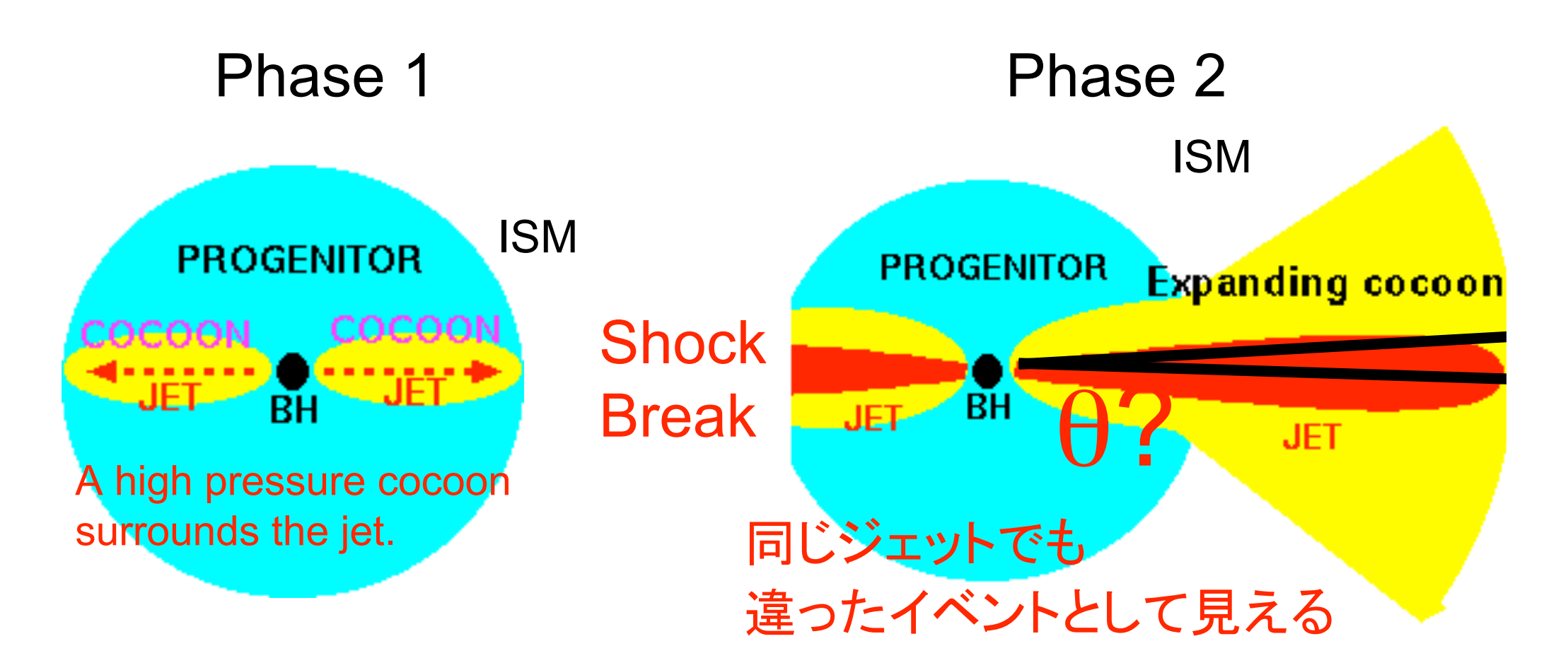


Jet's energy is confined in the cocoon during the propagation in the progenitor



Jet's energy is confined in the cocoon during the propagation in the progenitor

Cocoon energy is released to ISM. Free expansion

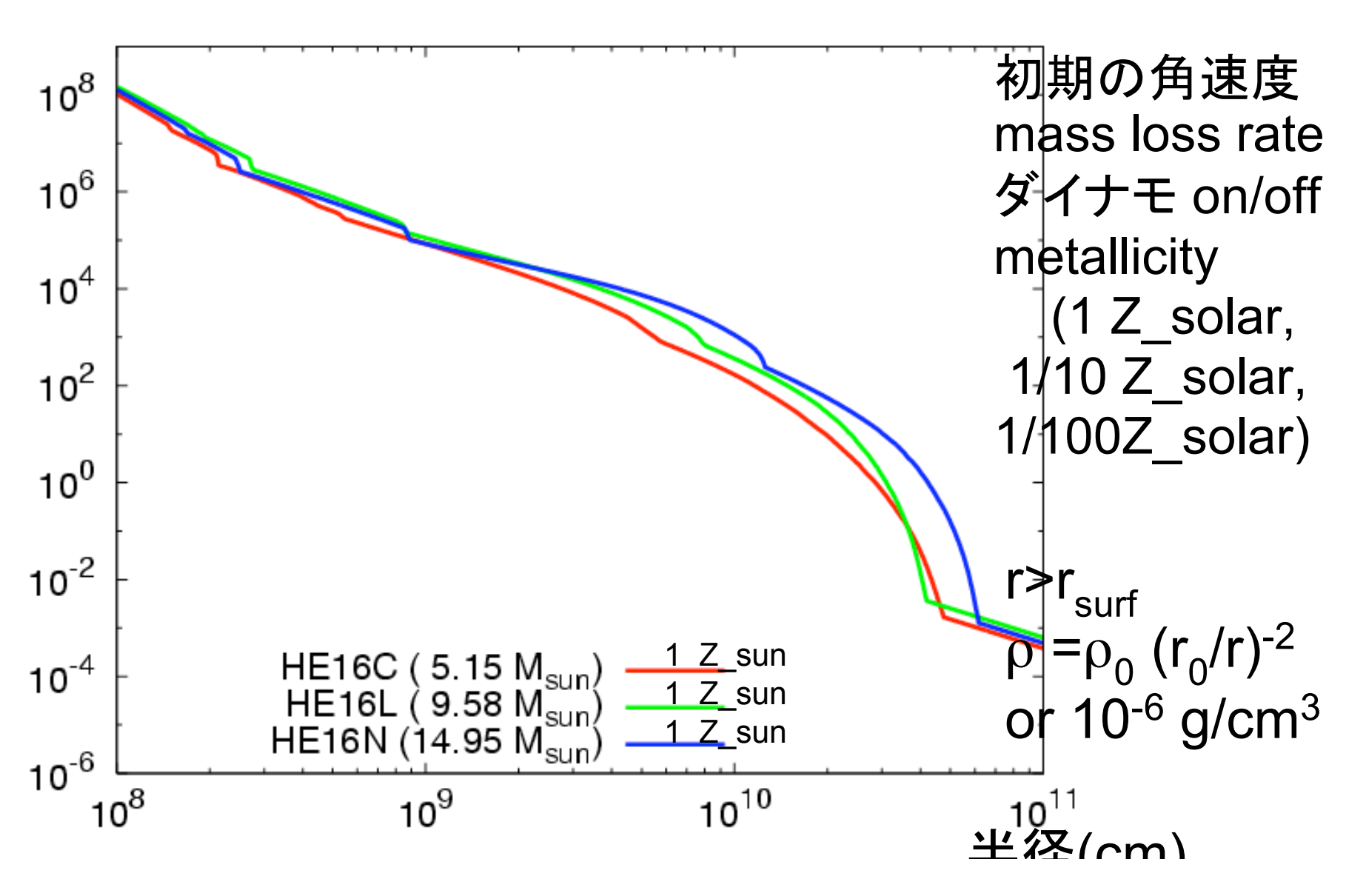


Jet's energy is confined in the cocoon during the propagation in the progenitor

Cocoon energy is released to ISM. Free expansion

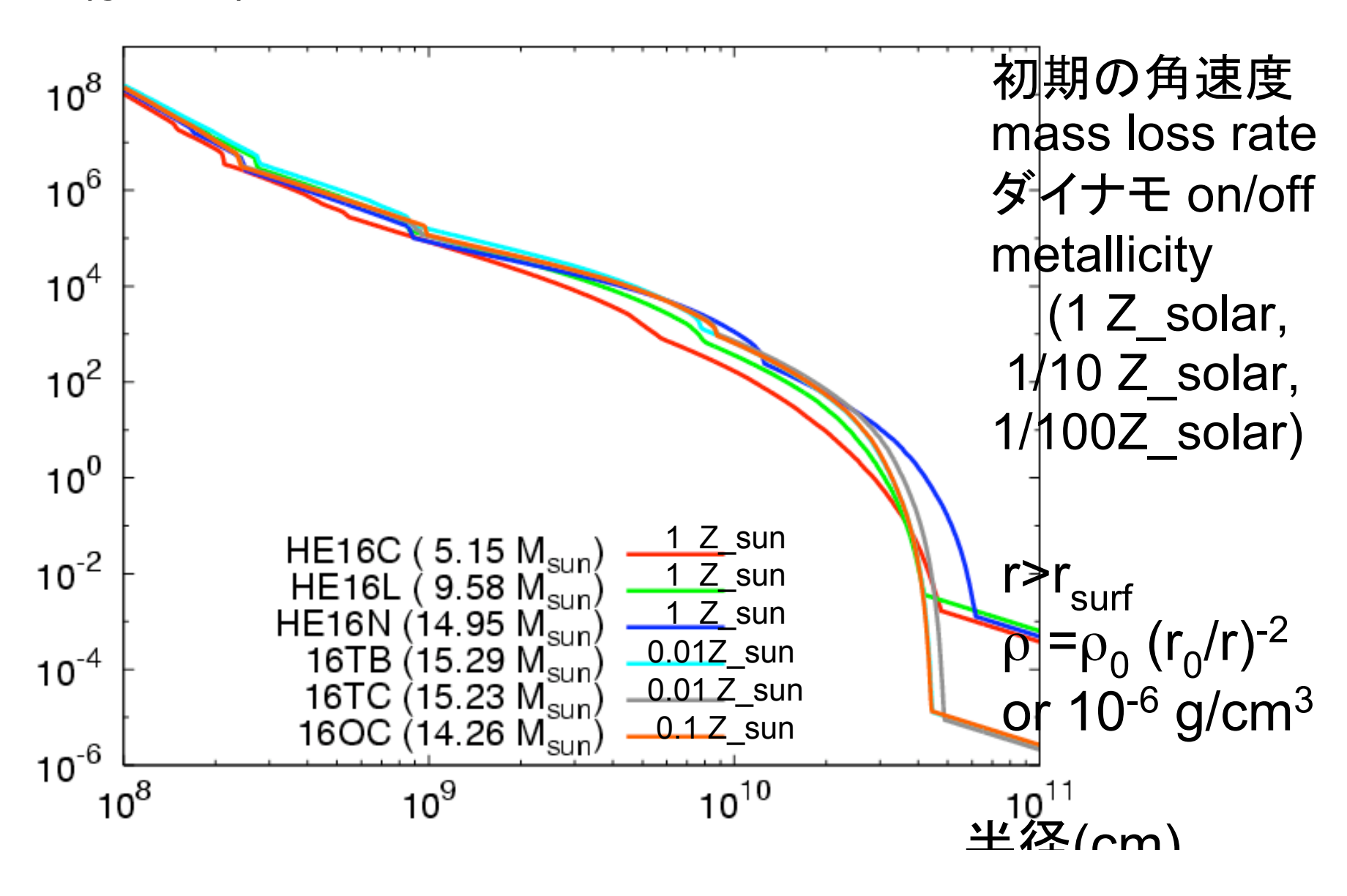
動径方向の親星密度構造Woosley &Heger(2006)

密度(g/cm³)

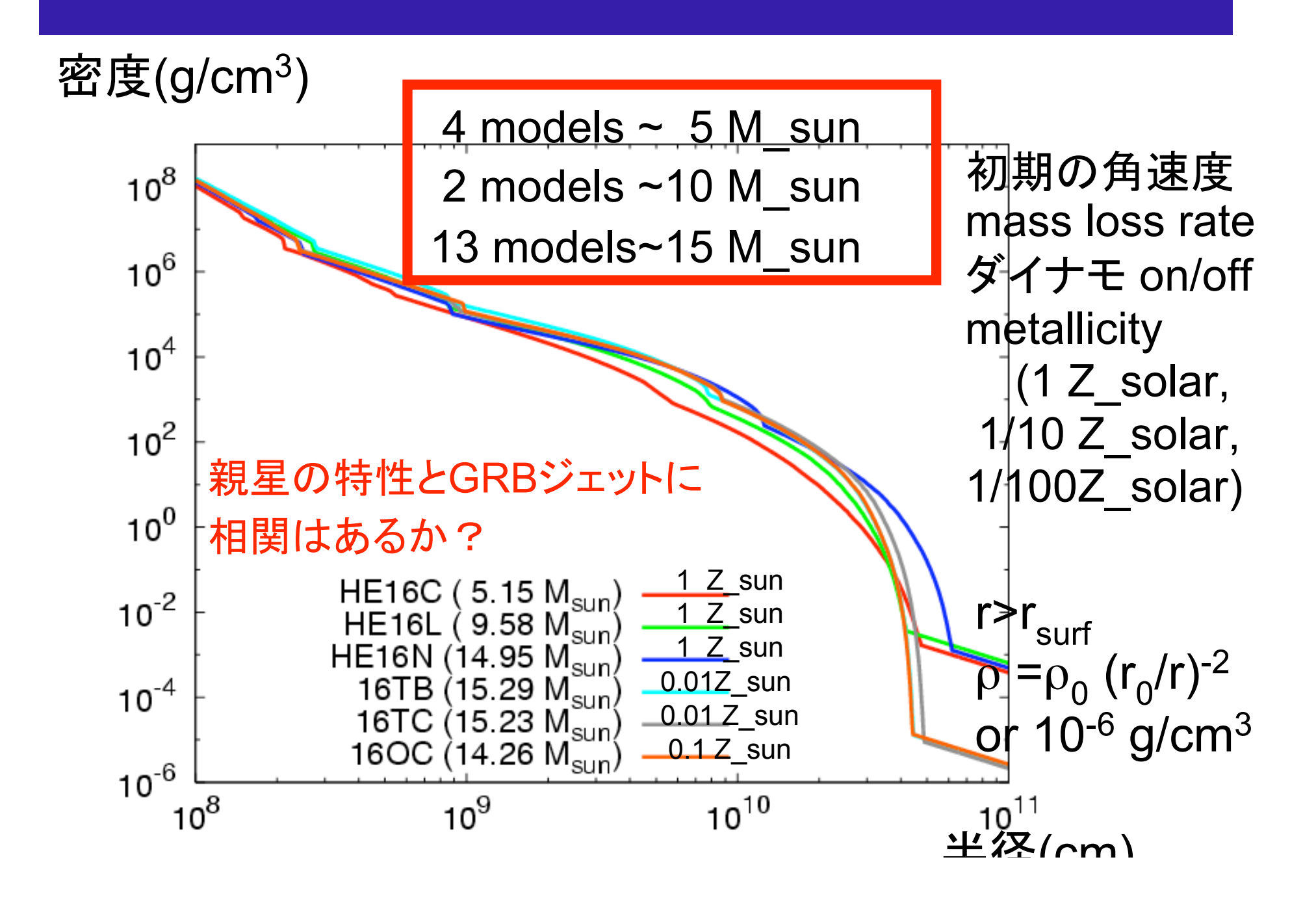


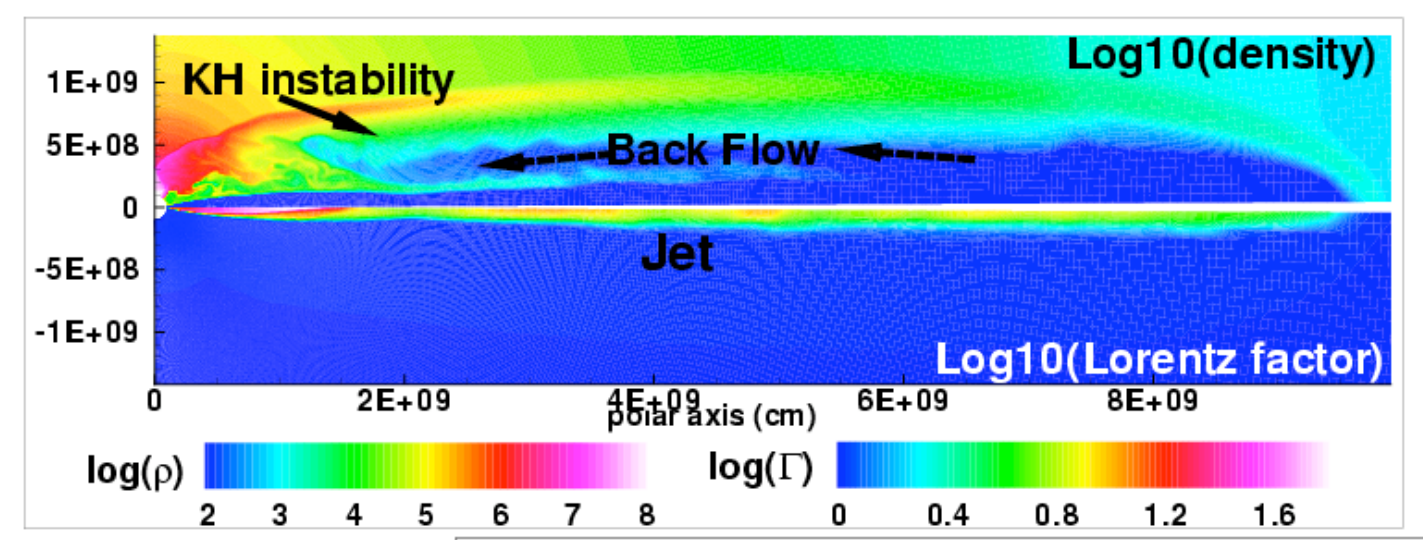
動径方向の親星密度構造Woosley &Heger(2006)

密度(g/cm³)

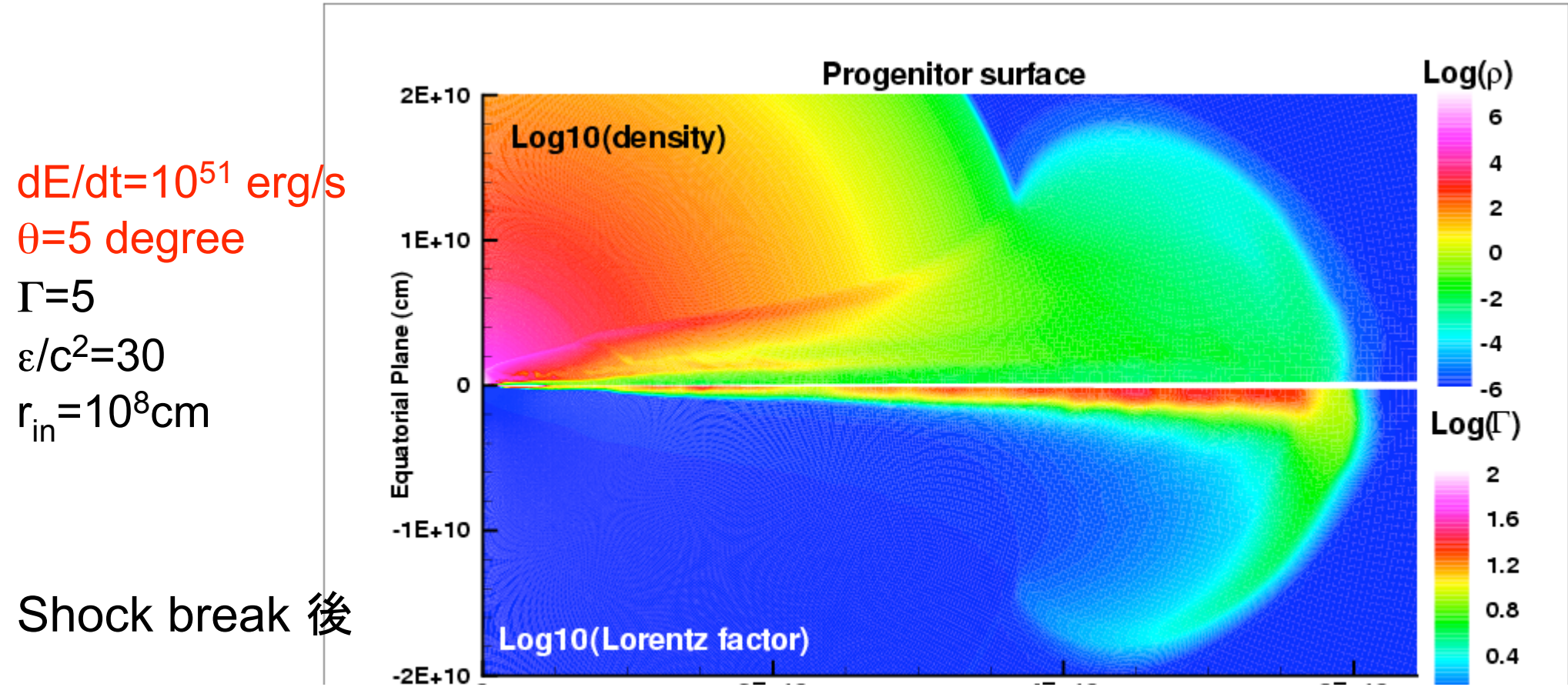


動径方向の親星密度構造Woosley &Heger(2006)

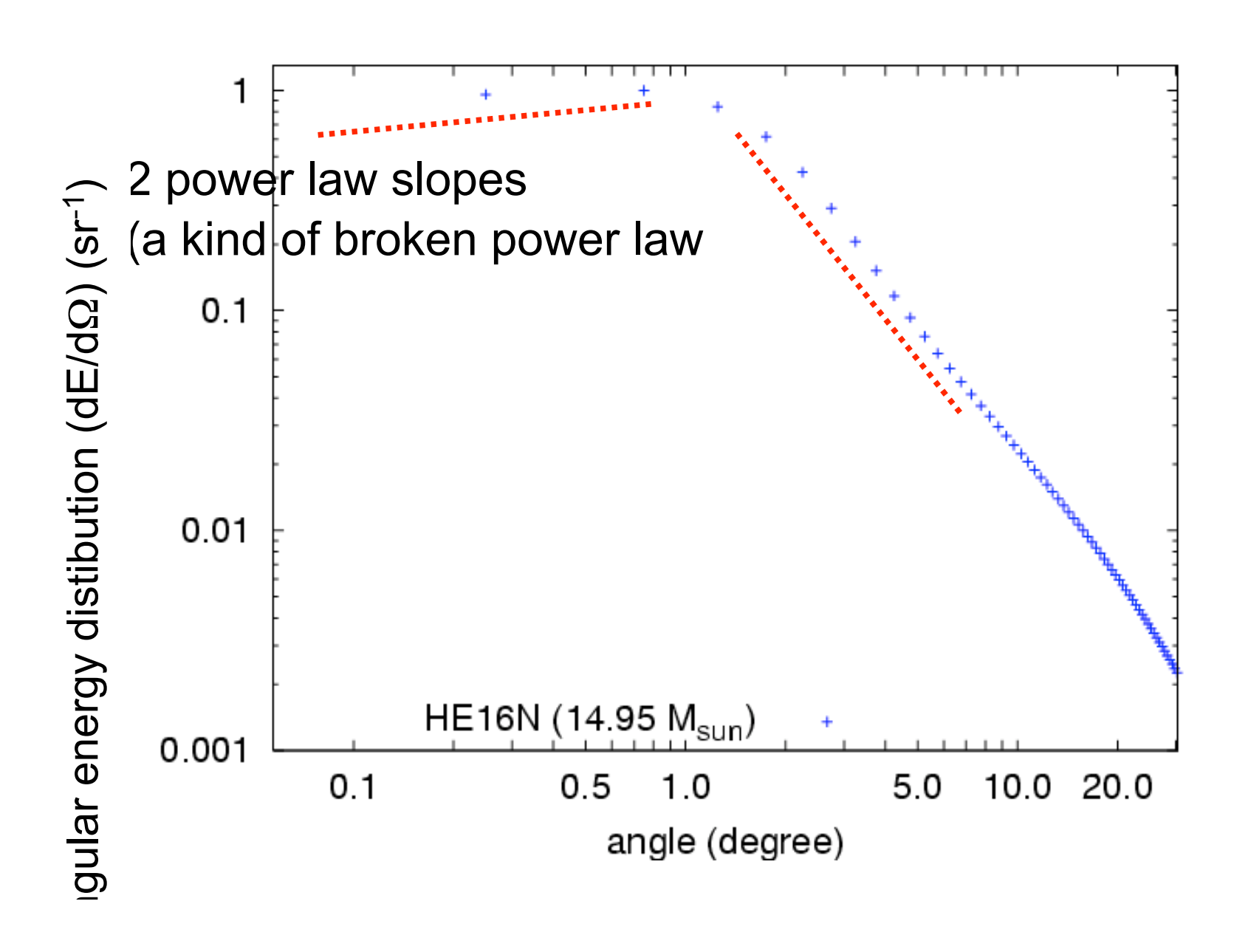




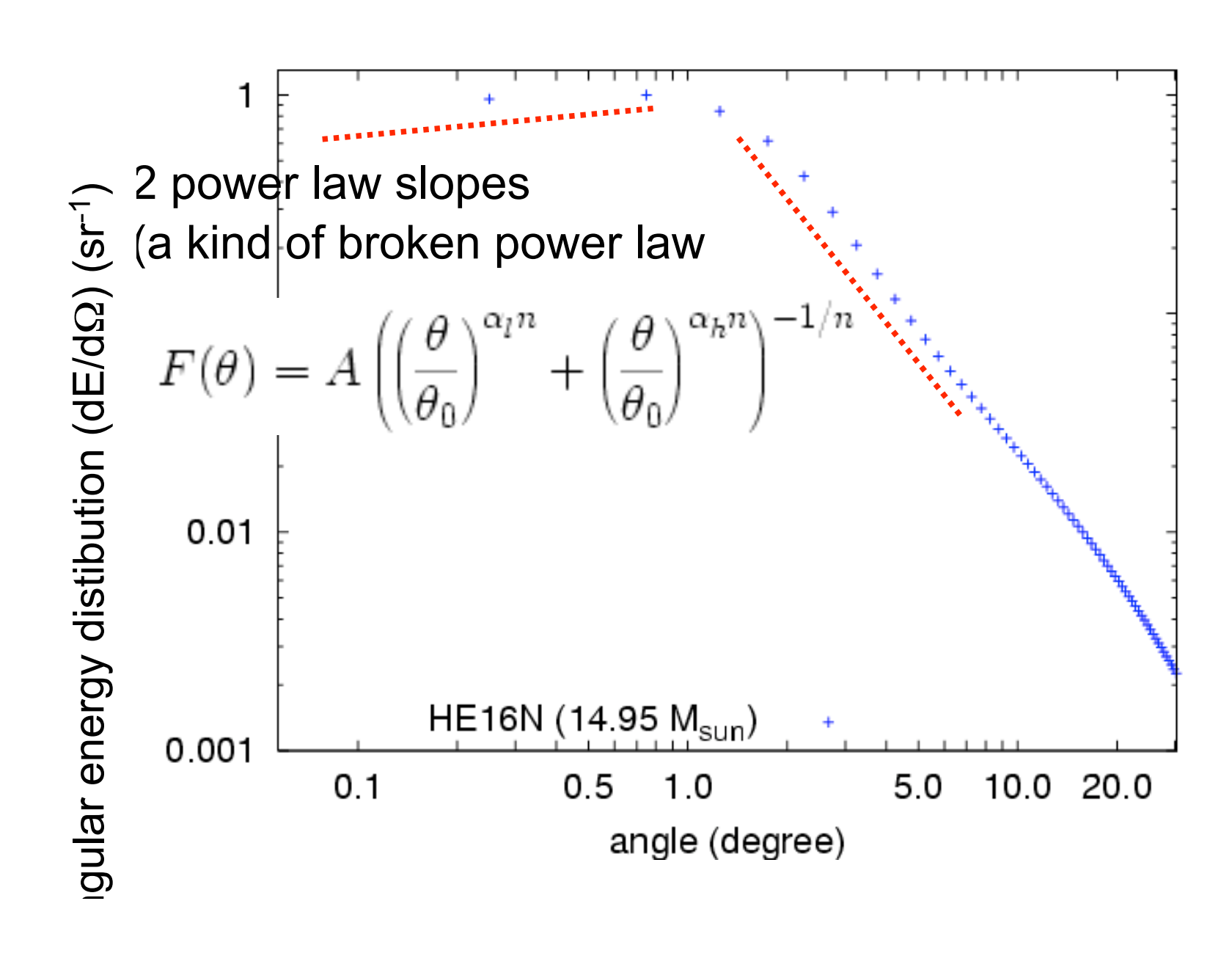
Shock break 前 cocoon 圧による confinement



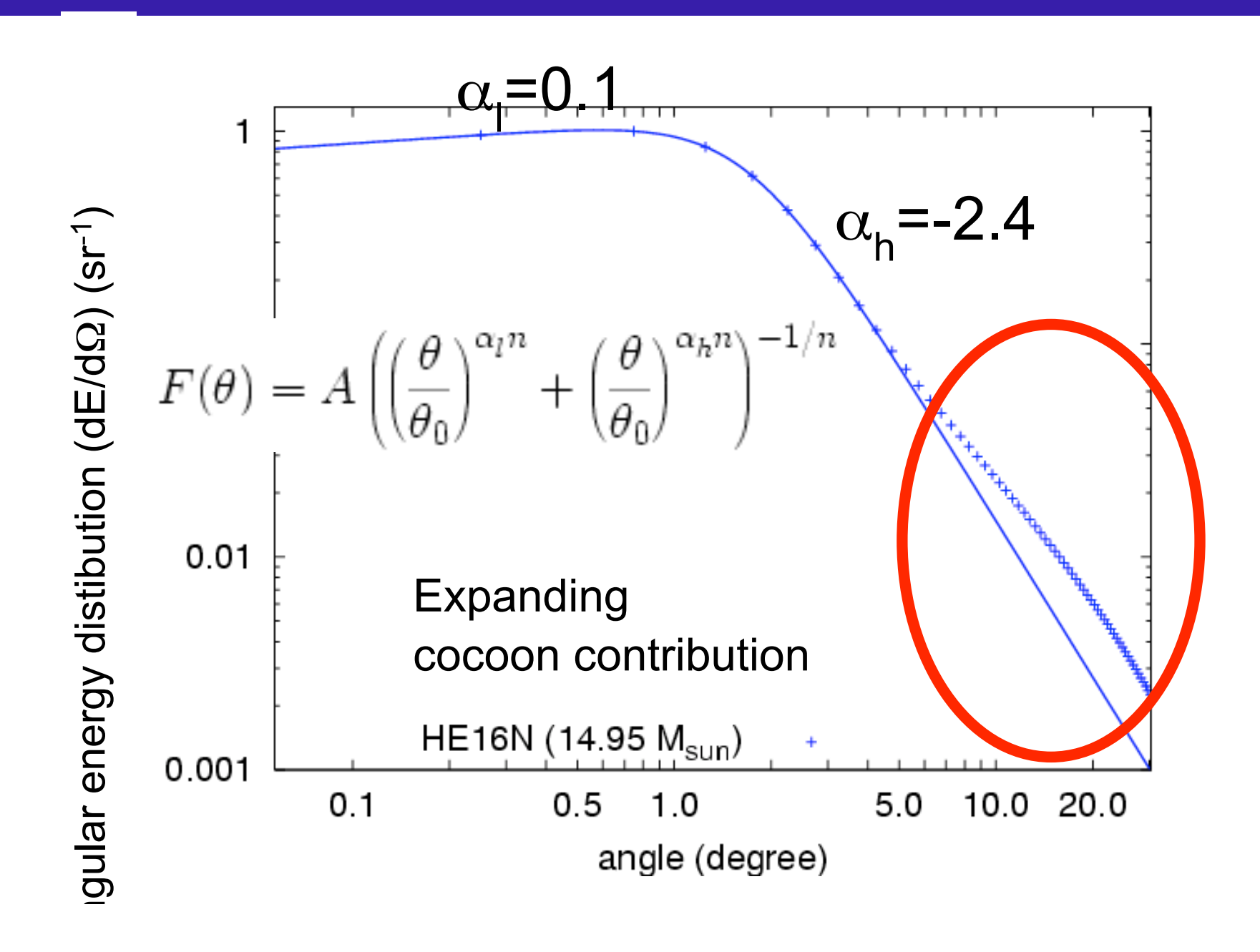
RESULTS : Angular energy distribution (dE/dΩ) derived from numerical simulations



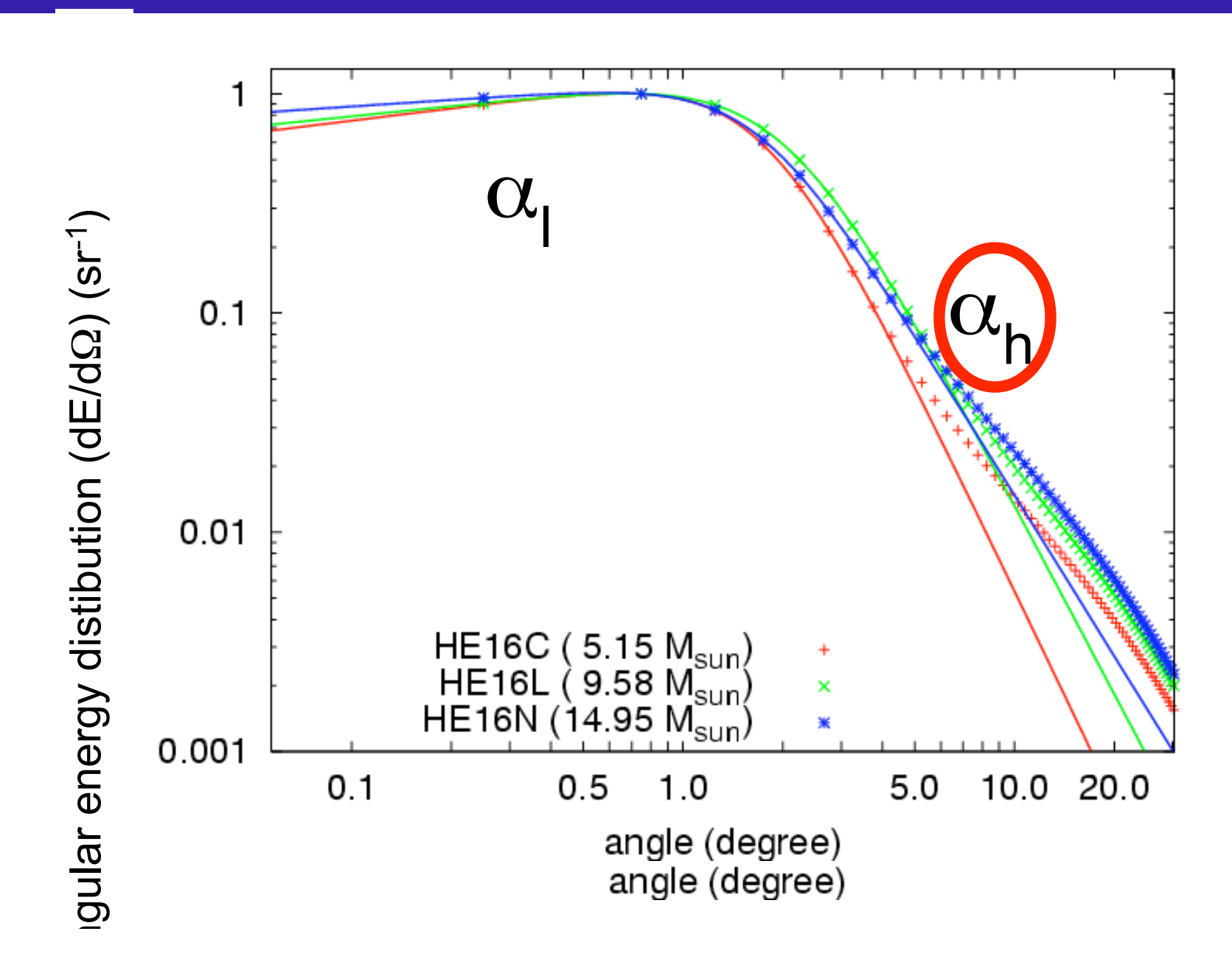
RESULTS : Angular energy distribution ($dE/d\Omega$) derived from numerical simulations



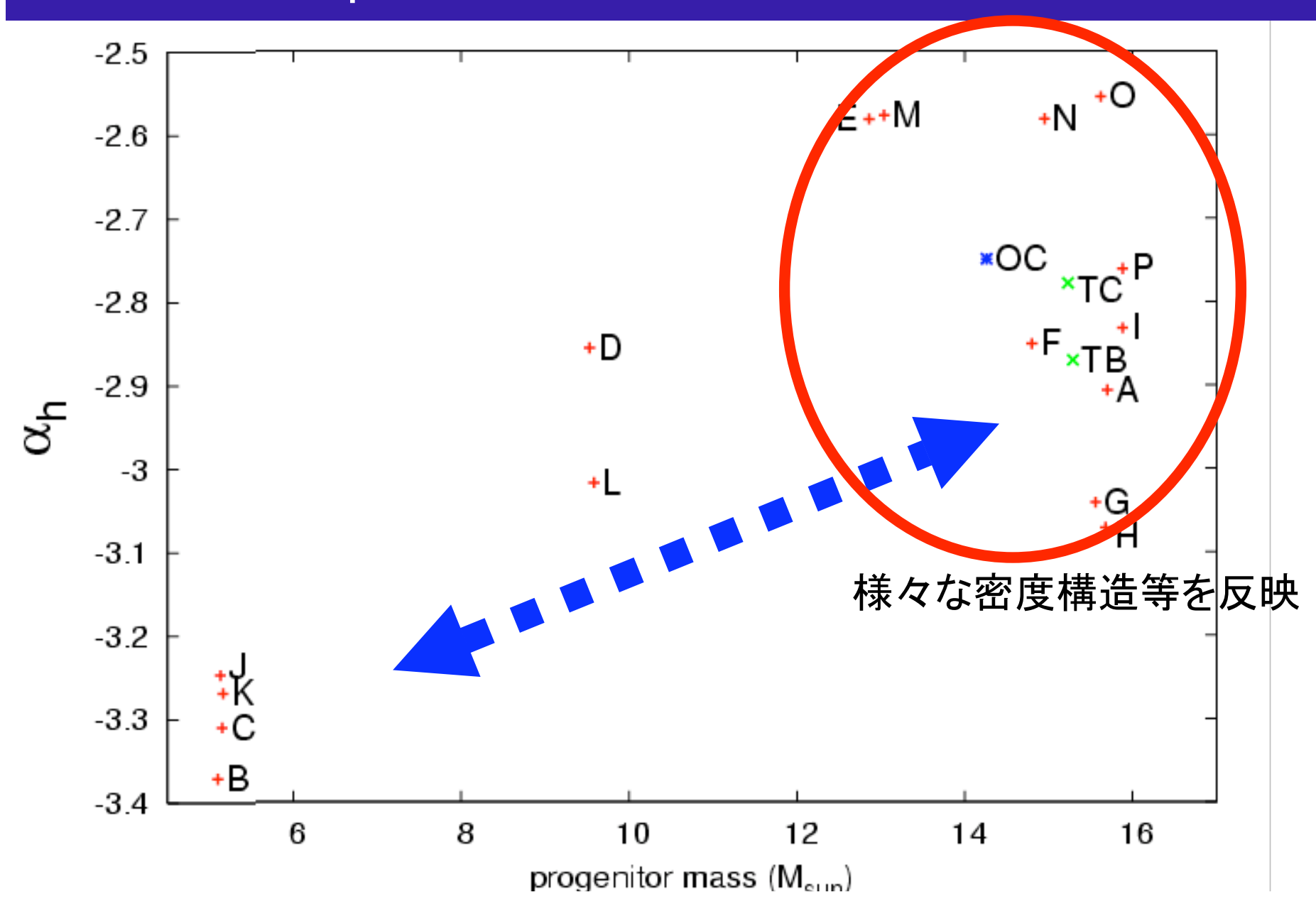
RESULTS : Angular energy distribution ($dE/d\Omega$) derived from numerical simulations



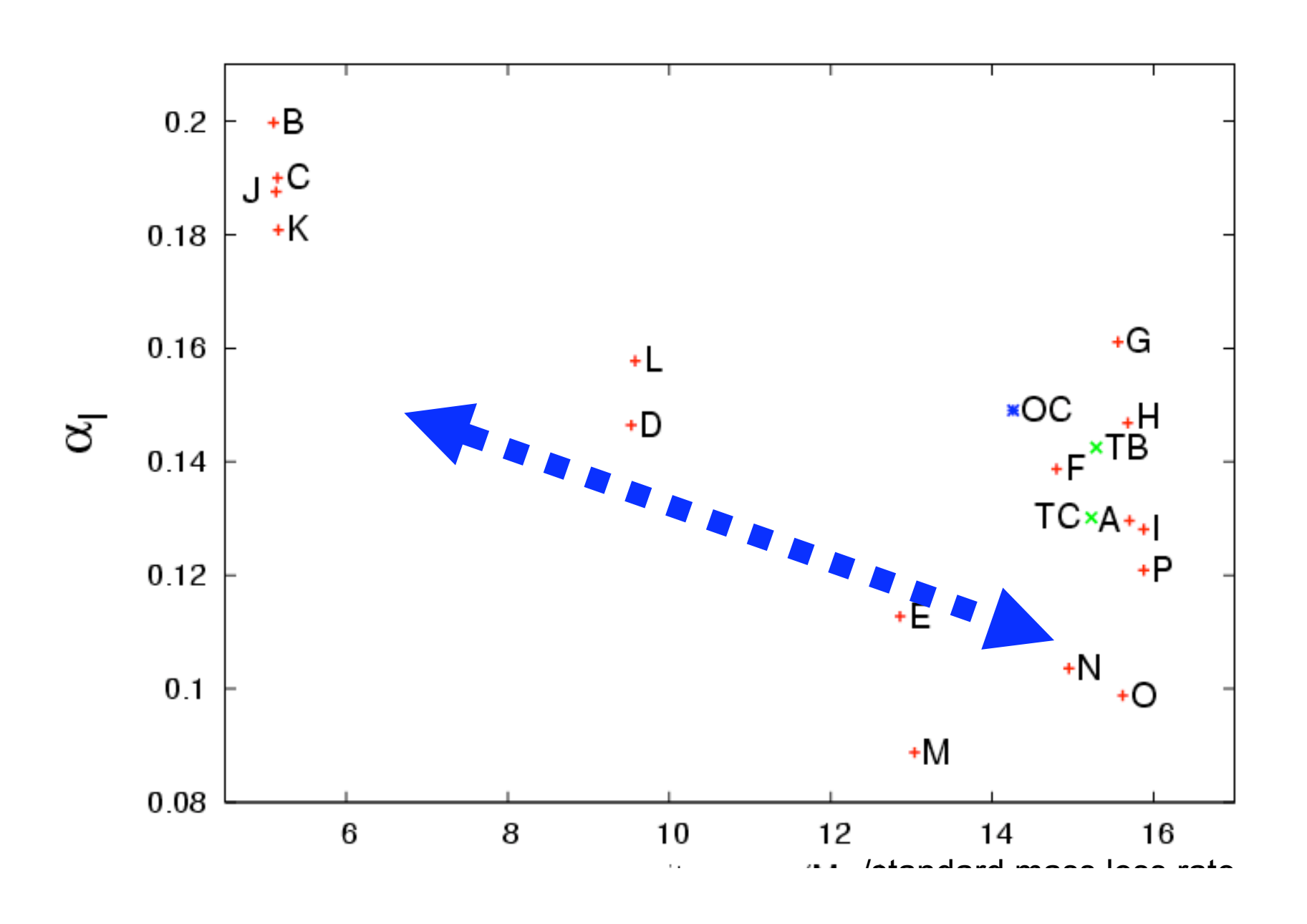
RESULTS : Angular energy distribution ($dE/d\Omega$) derived from numerical simulations



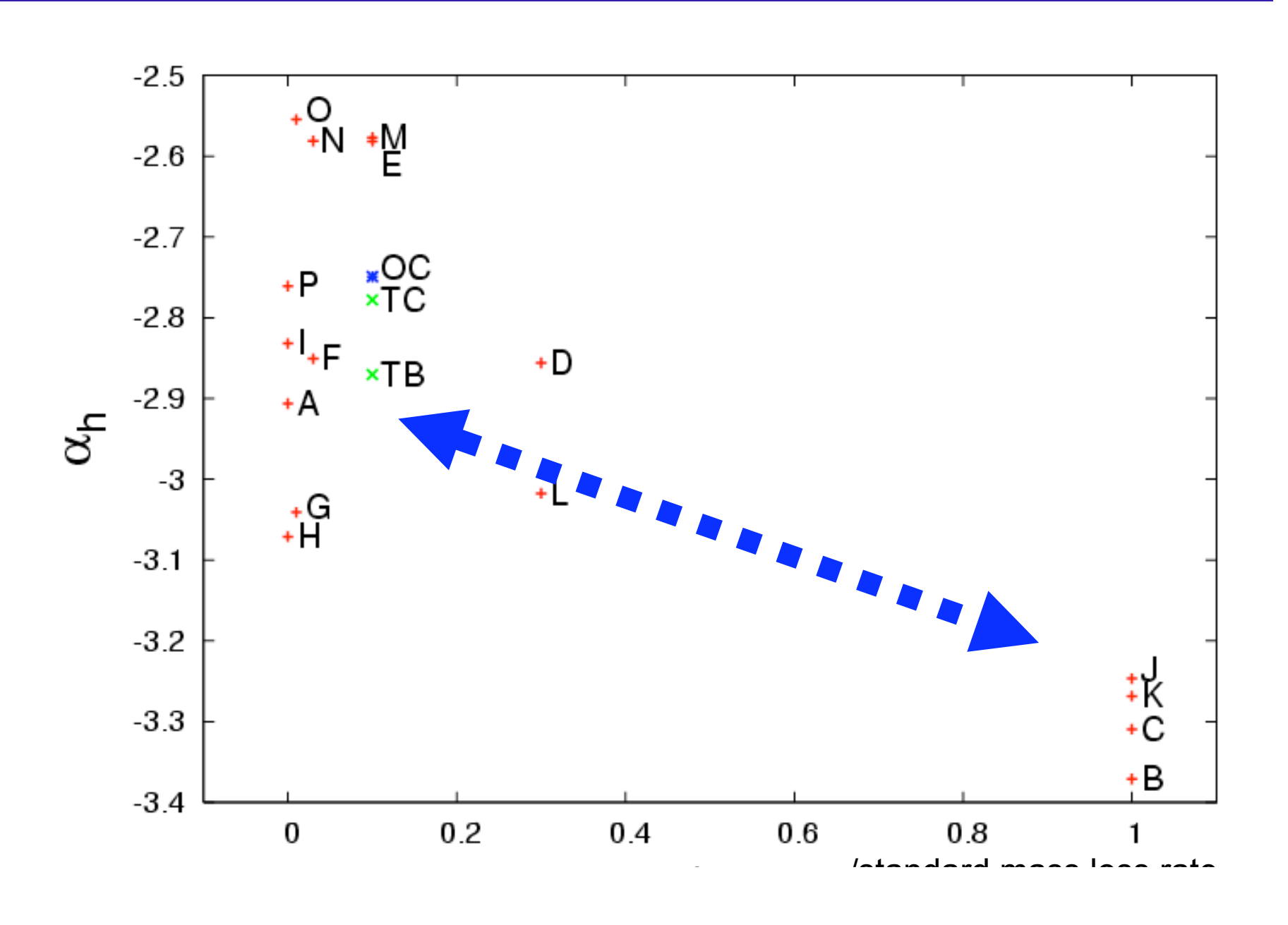
エネルギー角度分布でフィットしたべきの指数 (α_h)は 用いた親星の pre-SN での質量に強く依存する



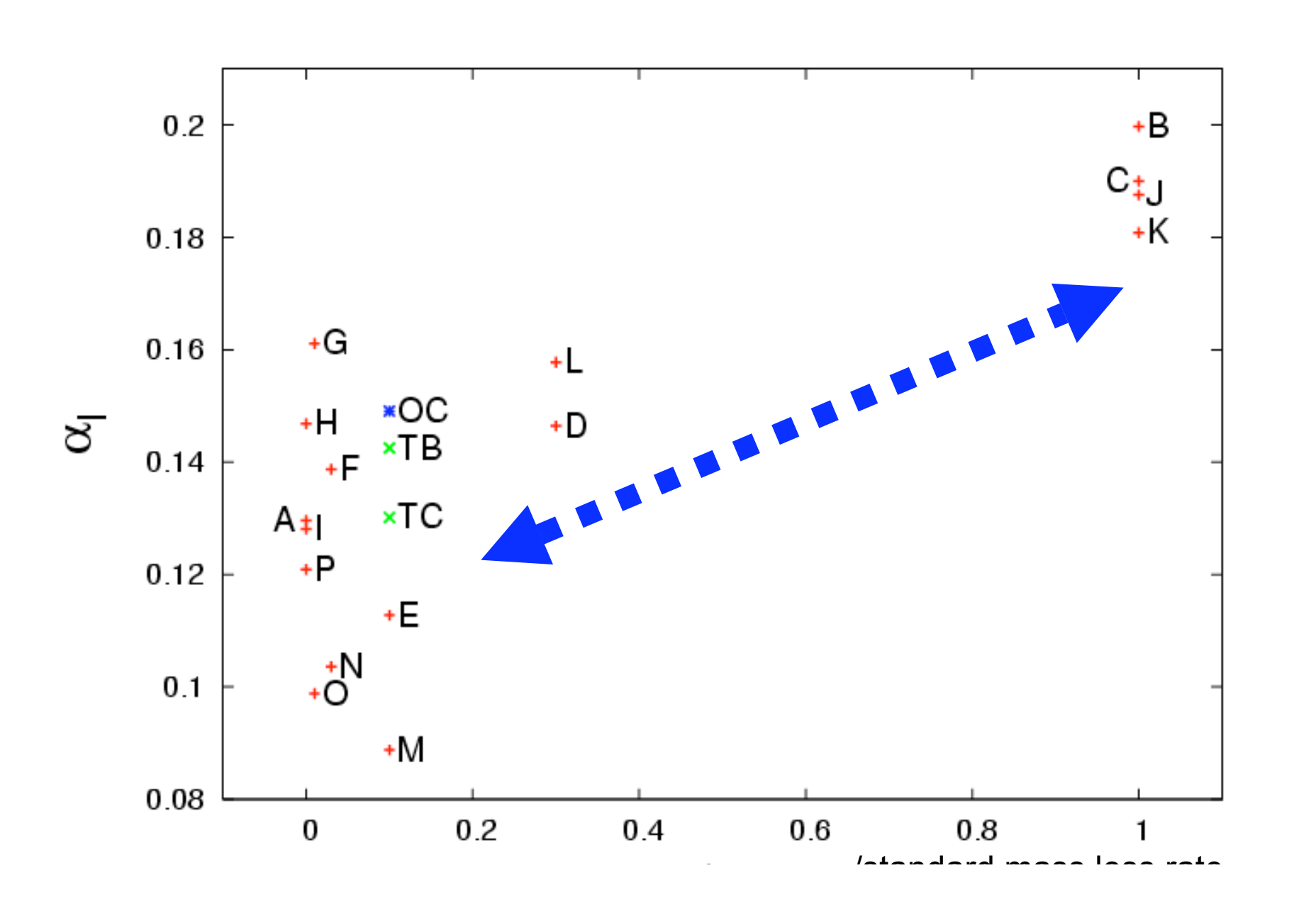
エネルギー角度分布でフィットしたべきの指数 (α_I)も用いた親星の pre-SN での質量に強く依存する



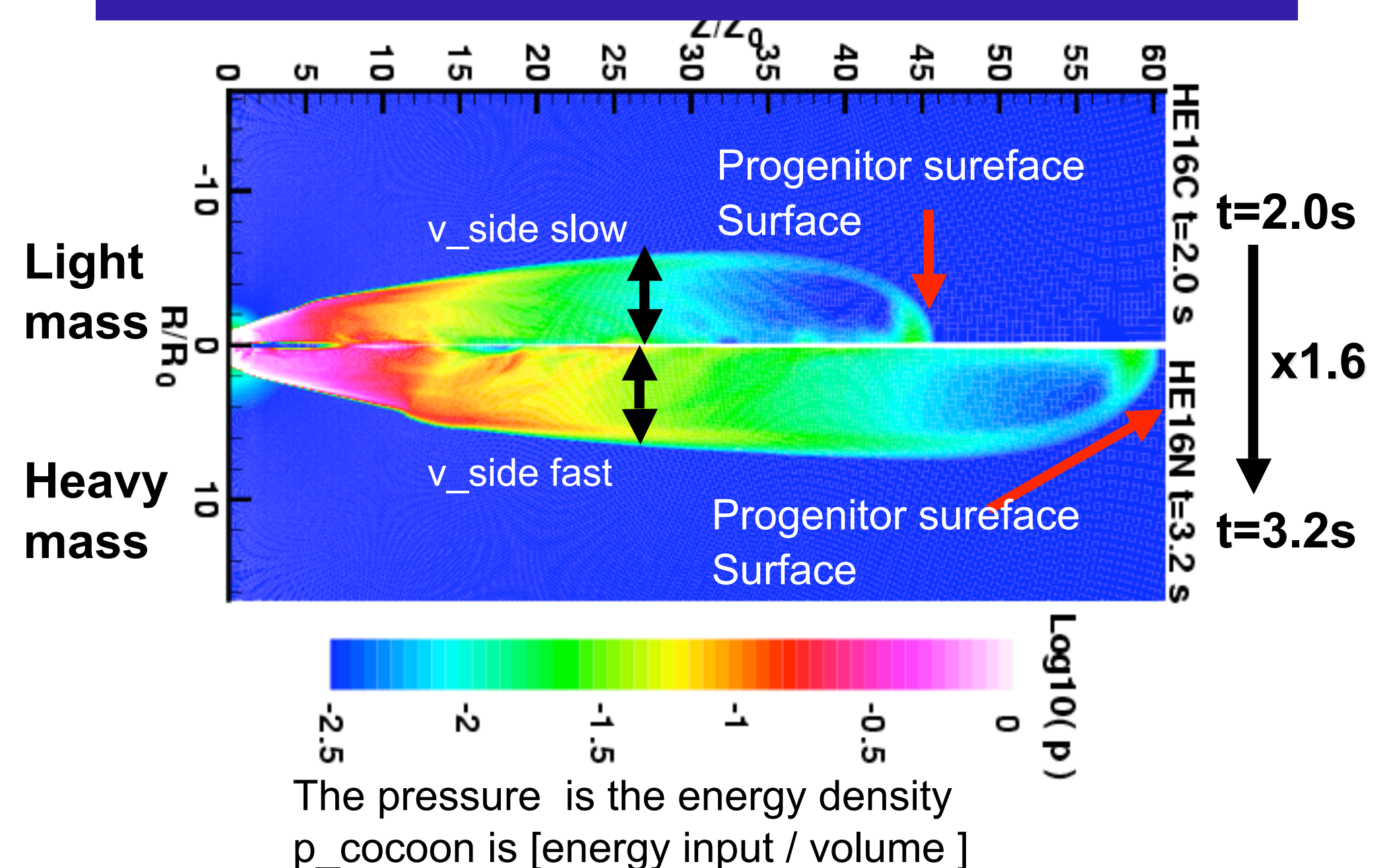
べき指数は親星の進化で仮定されたmass loss rate にも依存する



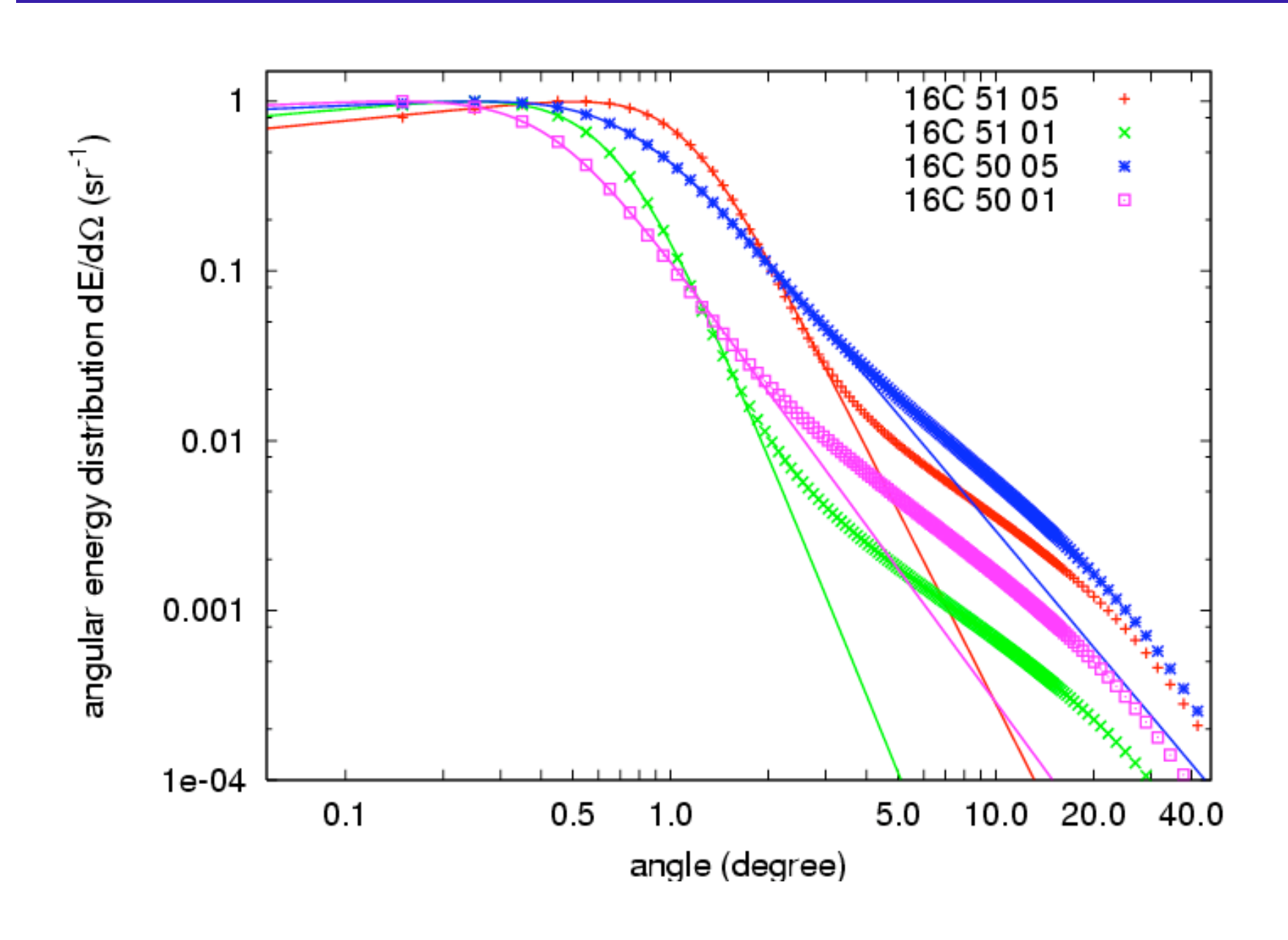
べき指数は親星の進化で仮定されたmass loss rate にも依存する



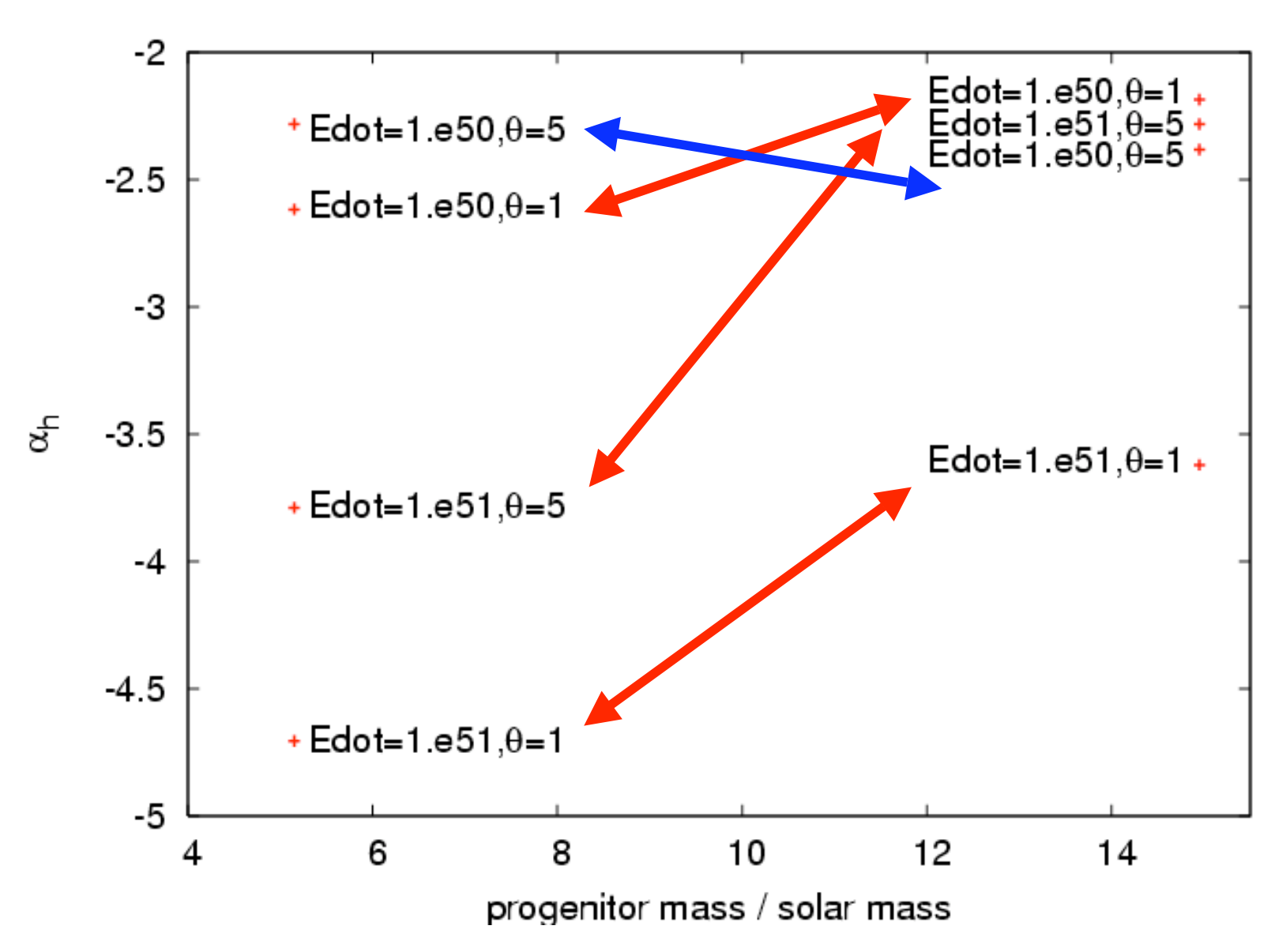
圧力分布 @ショックブレイク 重い親星 v.s. 軽い親星



ジェットパワー・開き角依存性 HE16C (5.15_Msun)



ジェットパワー・開き角依存性 べき指数



Fixed $\Gamma=5$, $\epsilon/c^2=30$, $r_{in}=10^8$ cm

まとめ

- ●ジェットが親星表面を突き破った(shock break) 後のジェットのエネルギー角度分布に関して、親星依存性、ジェットのパラメータ依存性を調べた。
- ●エネルギー角度分布は2つのべき(ジェット成分)+コクーン成分でよくフィットできる。
- ●分布のフィットの成分のべき指数は親星の質量、親星の密度構造、 ジェットのパラメータに依存する。

べき指数の違いは親星内部のダイナミックスから決まるジェット、 コクーンの圧力差から、shock break 後のジェットの膨張の違いに よってあらわれる。